

ارزیابی و مقایسه داده‌های بازکاوی شده بارش جهت استفاده در ایران

قاسم عزیزی* - دانشیار اقلیم‌شناسی، دانشکده جغرافیا، دانشگاه تهران

طاهر صفرزاد - استادیار اقلیم‌شناسی، دانشکده علوم انسانی و اجتماعی، دانشگاه مازندران

حسین محمدی - استاد اقلیم‌شناسی، دانشکده جغرافیا، دانشگاه تهران

حسنعلی فرجی سبکبار - دانشیار جغرافیای انسانی، دانشکده جغرافیا، دانشگاه تهران

پذیرش مقاله: ۱۳۹۳/۱۰/۱۸ تأیید نهایی: ۱۳۹۳/۱۱/۱۸

چکیده

در پژوهش پیش رو، داده‌های آفروزیت، GPCC و داده‌های بارش دانشگاه دی‌لور (UDel) براساس داده‌های بارش ایستگاهی ارزیابی شده است. در این راستا، از تکنیک‌های RMSE، ضریب همبستگی و دیاگرام تیلور استفاده شده است. نتایج ارزیابی داده‌ها نشان داد که دیاگرام تیلور به دلیل ارائه تصویری جامع تر از رابطه هندسی بین RMSD، ضریب همبستگی و انحراف معیار سری‌های زمانی، نسبت به سایر روش‌های تک متغیره نظریه RMSE و ضریب تعیین، مناسب‌تر است. ترسیم میانگین بلندمدت بارش سالانه ایران بر اساس داده‌های مزبور، دقت بیشتر داده‌های آفروزیت و GPCC را نسبت به داده‌های UDel نشان می‌دهد. داده‌های آفروزیت برای مناطق شمال، شمال غرب، دامنه‌های جنوبی البرز و نواحی داخلی کشور مناسب‌تر است و داده‌های GPCC در مناطق غرب، جنوب، جنوب شرق و شمال شرق کشور به نتایج بهتری متنبھی می‌شود. همچنین، مشخص شد که داده‌های UDel به دلیل درنظرگرفتن ارتباط فضایی داده‌ها با متغیر وابسته، مقادیر بارش سری‌های زمانی ناقص را بهتر از دو داده دیگر برآورد می‌کند.

کلیدواژه‌ها: داده‌های آفروزیت، داده‌های دانشگاه دی‌لور، داده‌های GPCC، دیاگرام تیلور.

مقدمه

پراکنده‌گی مجموع بارش سالانه کشور، گویای تفاوت‌های بسیار زیاد مکانی است. این تفاوت‌ها از یکسو به طبیعت رفتار مکانی بارش بازمی‌گردد که اساساً متغیری سرکش است و تغییرات مکانی شدیدی از خود نشان می‌دهد. از سوی دیگر، تنوع منشأ بارش، در نقاط مختلف ایران سبب شده است در هر منطقه مقدار ریزش‌های جوی و زمان بارش متفاوت باشد (مسعودیان، ۱۳۹۰: ۱۲۱). علاوه بر این، عدم توزیع مناسب و کافی ایستگاه‌های زمینی از یک طرف و در دسترس نبودن آمار طولانی مدت بارش از طرف دیگر، پیچیدگی واکاوی بارش را دوچندان کرده است. داده‌های بارش، ورودی ثابت اکثر پژوهش‌ها و مدل‌های مرتبط با منابع آب (مانند اقلیم، کشاورزی، هیدرولوژی، محیط زیست) است. بر همین اساس، سازمان‌های تحقیقاتی و مؤسسات فراوانی بر حسب هدف مورد نظرشان، مشغول جمع‌آوری و ارائه این داده‌ها به

کاربران اند. متنوع بودن این داده‌ها و استفاده نهادهای مربوط از روش‌های متفاوت درون‌یابی، نتایج متفاوتی را سبب می‌شود، لذا انتخاب داده مناسب بر اساس هدف پژوهش اهمیت بسیاری دارد. چین‌تالاپودی و همکاران (۱۱۹۱: ۲۰۱۲) برای شبیه‌سازی جریان آب حوضه رودخانه والالوپه در جنوب مرکزی تگزاس از سه منبع متفاوت بارش برآورده شده از ۲۲ ایستگاه باران‌سنجدی در حوضه آبریز، داده‌های راداری مرحله سوم^۱ NEXRAD و داده‌های ماهواره‌ای^۲ TRMM استفاده کردند و نشان دادند که تفاوت‌های حاصل از برآورد داده‌های مزبور، اختلاف معنادار واکنش هیدرولوژیکی حوضه آبریز را در پی داشته است. در این راستا، مشخص کردند که داده‌های برآورده شده بارش حاصل از رادار، نسبت به داده‌های برآورده شده ایستگاه‌های زمینی و ماهواره TRMM به نتایج بهتری منجر خواهد شد.

در تحقیقی مشابه، حاجی میرحیمی و فیضی‌زاده (۱۳۸۷: ۱) در بررسی میزان انطباق داده‌های رادار و TRMM با داده‌های بارش زمینی مشخص کردند داده‌های رادار، دارای همبستگی معناداری با داده‌های بارش زمینی است. از طرف دیگر، داده‌های TRMM علی‌رغم تطابق نسبی با بارش‌های زمینی، جایگزین مناسبی برای ایستگاه‌های باران‌سنجدستی نیست. جوانمرد و همکاران (۱۰: ۲۰۱۹) نیز داده‌های بارش سطح^۳، ماهواره TRMM را با داده‌های بارش شبکه‌بندی شده با قدرت تفکیک مکانی بالا (۰/۲۵ درجه) در ایران مقایسه کردند و نشان دادند که تطابق خوبی از لحاظ الگوی پراکنش و مقدار بارش بین دو مجموعه داده وجود دارد به این صورت که داده‌های ماهواره TRMM در نواحی داخلی کشور، سواحل خزر و مناطق کوهستانی زاگرس به ترتیب دارای ضریب همبستگی ۰/۷۷، ۰/۵۷ و ۰/۰ با داده‌های زمینی است و ۰/۱۷، ۰/۰۳۹ و ۰/۰۱۵ میلی‌متر در روز، مقدار بارش را کمتر از مقدار واقعی برآورد می‌کند.

از طرف دیگر، عرفانیان و همکاران (۱۳۹۲: ۱) بر این باورند که داده‌های بارش TRMM در مناطق خشک و نیمه‌خشک کشور، مقادیر بارندگی ماهانه را در ۸۰ درصد از ایستگاه‌های سینوپتیک، بیش از مقدار واقعی برآورد می‌کند، اما ضریب همبستگی بالایی (۰/۸) در بیشتر ماههای سال بین دو منبع اطلاعاتی وجود دارد. حجازی‌زاده و همکاران (۱۳۹۱: ۴۹) نیز به دلیل دقت کمتر داده‌های بارش TRMM نسبت به برآوردهای حاصل از تکنیک درون‌یابی کریجینگ، استفاده از آن‌ها را برای مقاصد علمی در ایران پیشنهاد نمی‌کنند. با وجود این، نشان دادند که دقت این داده‌ها در نواحی غرب و جنوب کشور بیش از سایر نواحی کشور است.

بارانی‌زاده و همکاران (۱۳۹۰: ۲۶۱۵) با بررسی صحبت‌سنجدی داده‌های بارندگی الگوریتم^۴ PERSIANN از طریق داده‌های آفروزیت^۵، نشان دادند که این داده‌ها متأثر از فصل است و بیشترین همبستگی و تطابق مکانی را در فصل پاییز و بهار با داده‌های آفروزیت دارند، به این صورت که الگوی بارشی حاکم بر فصل پاییز را شناسایی می‌کند، اما مقدار بارش آن را کمتر از مقدار داده‌های آفروزیت برآورد می‌کند، در حالی که مقدار بارش فصل بهار را بیشتر از مقدار آفروزیت برآورد می‌کند و کمترین تطابق را با داده‌های آفروزیت در فصل تابستان دارد. لو کوتی و همکاران (۱۴: ۲۰۱۸) چهار

1. Next-Generation Radar
2. Tropical Rainfall Measuring Mission
3. Precipitation Estimation from Remotely Sensed Information using Artificial Neural Networks
4. Asian Precipitation Highly-Resolved Observational Data Integration Towards Evaluation of Water Resources

داده بارش حاصل از مشاهدات ماهواره‌ای شامل TMPA-^۱, PERSIANN, PERSIANN-CCS^۲, GPCP^۴ (داده‌های تعديل شده PERSIANN و نسخه پژوهشی داده‌های PERSIANN^۳) و دو مجموعه داده بارش تعديل شده TRMM^۵ (داده‌های ایستگاهی ارزیابی نظری MBE^۶, POD^۷ و FAR^۸) برای ارزیابی داده‌ها بهره گرفتند و نشان دادند که داده‌های بارش حاصل از ماهواره به صورت سیستماتیک مقدار بارش را کمتر از شبکه‌های باران سنجی برآورد می‌کند.

رضیئی و فتاحی (۱۳۹۰: ۲۲۵) امکان استفاده از داده‌های شبکه‌بندی شده بارش NCEP/NCAR را به منظور استفاده در پایش خشک‌سالی ایران ارزیابی کردند و نتیجه گرفتند، این داده‌ها روند تغییرات زمانی و مکانی بارش در ایران را به خوبی نشان می‌دهد و برای پایش بهنگام خشک‌سالی در کشور مناسب است. کتیرایی بروجردی (۱۳۹۲: ۱۴۹) داده‌های بارش ماهواره‌ای PERSIANN را با داده‌های زمینی ارزیابی کرد و نشان داد که PERSIANN الگوی تغییرات مکانی بارش سالانه را به خوبی نمایش می‌دهد، ولی مقدار آن را در اغلب نقاط ایران کم و در بعضی مناطق خشک کویری زیاد برآورد می‌کند. نتایج ایشان همچنین نشان داد که این داده‌ها، بارش منطقه زاگرس را کم، بارش کرانه دریای خزر را به شدت کم، و بارش منطقه خشک شرق را زیاد برآورد می‌کند. رضیئی و همکاران (۱۴۰: ۲۵۰) با ارزیابی داده‌های آفروдیت از طریق داده‌های ایستگاهی دارای سری زمانی کامل، نشان دادند که همبستگی قوی بین آن‌ها وجود دارد، بدین صورت که شاخص‌های حداکثر بارش روزانه، بارش تجمعی صدک ۹۰ به بالا، درصد روزهای مرطوب و مجموع بارش سالانه در ایستگاه‌ها و نزدیک‌ترین نقاط آفرودیت به آن‌ها را از طریق آماره ضریب همبستگی مقایسه کردند و نشان دادند که ارتباط قوی بین شاخص‌های مورد مطالعه در دو مجموعه داده وجود دارد. مسعودیان و همکاران (۱۳۹۳: ۷۳) از طریق مقایسه پایگاه ملی بارش اسفزاری با پایگاه‌های بارش جهانی GPCC، GPCP و CMAP در پهنه ایران، نشان دادند که میان پایگاه بارش ملی اسفزاری و سه پایگاه مورد بررسی به ویژه همبستگی بالای بهخصوص در فصل‌های پربارش دیده می‌شود.

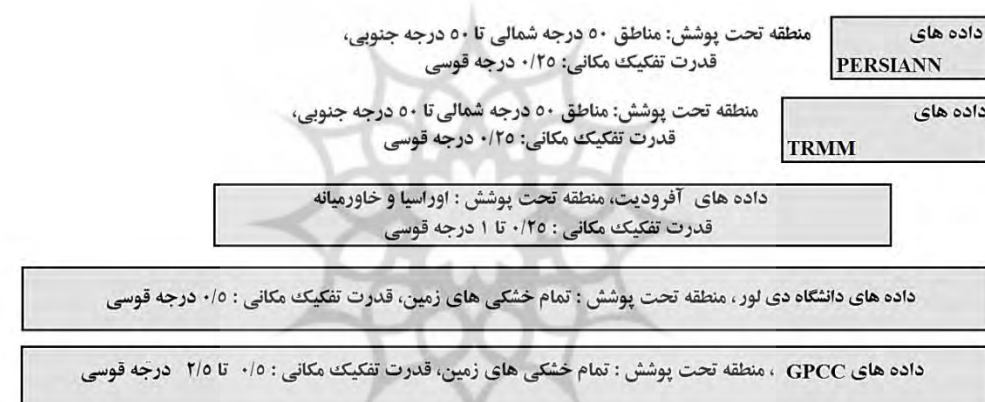
پژوهش‌های یادشده، غالباً یک نوع داده را با داده‌های زمینی مقایسه و بیان کرده‌اند که داده مورد نظر در کدام بخش‌ها دقیق‌تری دارد و تنها تعداد اندکی از پژوهش‌ها، چندین پایگاه داده مختلف را بررسی کرده و مناسب‌ترین آن‌ها را برای مقاصد خاص و نواحی مختلف پیشنهاد داده‌اند. در این راستا، از مقایسه و ارزیابی داده‌های GPCC، آفرودیت و داده‌های دانشگاه دی‌لور به صورت توانمند و در ارتباط با ایران غفلت شده است و از آنجا که این داده‌ها در

-
1. Climate prediction center (CPC) morphing technique (CMORPH)
 2. PERSIANN® Cloud Classification System
 3. TRMM Multi-Satellite Precipitation Analysis
 4. Global Precipitation Climatology Project
 5. Mean Bias Error
 6. Root Mean Square Error
 7. Probability of Detection
 8. False Alarm Ratio

مطالعات اقلیم‌شناسی به وفور استفاده می‌شود، در این پژوهش سعی می‌شود این داده‌ها در ارتباط با ایستگاه‌های زمینی ارزیابی و مقایسه شود.

داده‌ها و روش‌ها

با توجه به مطالعات صورت گرفته در زمینه انواع داده بارش، پر کاربردترین داده‌ها به همراه برخی ویژگی‌های آن‌ها در شکل ۱ نشان داده شده است. از آنجا که واکاوی ویژگی‌های بارش مستلزم داشتن سری زمانی بلندمدت است، در این پژوهش سعی خواهد شد داده‌های بازکاوی شده با سری زمانی بلندمدت (داده‌های آفروزید، داده‌های GPCC و DADH‌های دانشگاه دی‌لور^۳) براساس داده‌های ایستگاهی ارزیابی شود. در این راستا، از تکنیک‌های RMSE، ضریب همبستگی و دیاگرام تیلور استفاده خواهد شد. در نهایت، اولویت استفاده از این داده‌ها در ایران توضیح داده می‌شود.



شکل ۱. طول دوره زمانی پرکاربردترین داده‌های بارش به همراه برخی ویژگی‌های آن‌ها

داده‌های بارش آفروزید

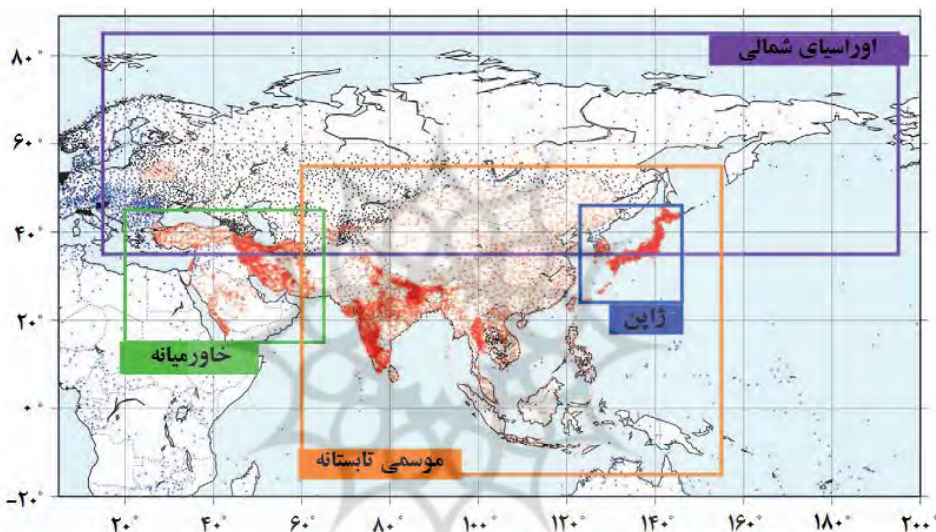
مجموعه داده‌های آفروزید را کنسرسیومی بین پژوهشکده انسانی و طبیعی ژاپن^۴ (RIHN) و پژوهشکده هواشناسی متعلق به آژانس هواشناسی ژاپن^۵ (MRI/JMA) توسعه داده است. کنسرسیوم مزبور داده‌های بارش با قدرت تفکیک متفاوت را در مناطق مختلف آسیا توسعه داده است. این داده‌ها با روش فاصله وزین از طریق ایستگاه‌های زمینی بارش درون‌یابی شده است. شمار ایستگاه‌های زمینی معتبر در هر درون‌یابی بین ۵۰۰۰ تا ۱۲۰۰۰ ایستگاه است.

بازه زمانی پوشش داده شده بیش از ۵۰ سال (۱۹۵۱-۲۰۰۷) است که به صورت روزانه و با قدرت تفکیک مکانی ۰/۲۵ درجه قوسی ارائه می‌شود (اندرمن و همکاران، ۲۰۱۱: ۴ و ۲۰۱۱). داده‌های استفاده شده در

1. Global Precipitation Climatology Centre
2. University of Delaware
3. Research Institute for Humanity and Nature
4. Meteorological Research Institute of Japan Meteorological Agency

پروژه آفودیت عبارت است از: ۱. داده‌های سامانه مخابرات جهانی^۱ (GTS) مانند داده رادیوسوند، ۲. داده‌های قبلاً استخراج شده از سایر پروژه‌ها و سازمان‌ها، ۳. مجموعه داده‌های متعلق به آفودیت. قلمرو مکانی و توزیع فضایی داده‌های مورد استفاده در شکل ۲ نشان داده شده است. الگوریتم به کار برده شده در درون‌یابی این داده‌ها، مشابه الگوریتم شی‌یه و همکاران (۲۰۰۷) است به این صورت که درون‌یابی را با روش^۲ PRISM و درنظر گرفتن اثر اوروگرافیک انجام می‌دهد (جزئیات بیشتر در یاتاگای و همکاران ۲۰۱۲؛ شی‌یه و همکاران، ۲۰۰۷).

مهمنترین مزیت این داده‌ها، استفاده از شبکه ایستگاه‌های زمینی بسیار متراکم است. متغیربودن مکان و تعداد شبکه ایستگاه‌های زمینی طی زمان و فصل‌های مختلف از ضعف‌های این داده‌ها محسوب می‌شود، زیرا ممکن است ناهمگنی داده‌های ایجادشده را سبب شود.



شکل ۲. قلمرو و توزیع فضایی ایستگاه‌های ثبت بارش استفاده شده در پروژه آفودیت، نسخه VII01 برای موسمی تابستانه، خاورمیانه و اوراسیای شمالی و نسخه VI005 برای ژاپن. ایستگاه‌های استخراج شده از شبکه‌های GTS (نقاط آبی)، مجموعه داده‌های پیش‌تألیف شده (نقاط مشکی) و مجموعه داده‌های مخصوص آفودیت (نقاط قرمز) نشان داده شده‌اند
(منبع: یاتاگای و همکاران، ۲۰۱۲).

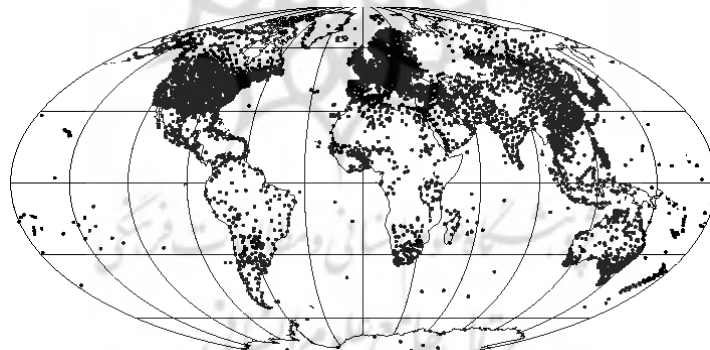
داده‌های بارش دانشگاه دی‌لور (UDel)

ویل‌مات و ماتسوئورا (۲۰۰۱) انبوه داده‌ها را از شمار زیادی از ایستگاه‌های GHCN2 (شبکه جهانی دیرینه اقلیم)^۳ و فراتر از آن از آرشیو لی‌گیتز و ویل‌مات گردآوری کردند. نتیجه این کار ایجاد پایگاه داده اقلیمی ماهانه از درجه حرارت و بارش در سطح زمین بود. این داده‌ها سری زمانی میانگین درجه حرارت ماهانه سطح زمین و مجموع بارش ماهانه را طی سال‌های ۱۹۰۰ تا ۲۰۱۰ با قدرت تفکیک مکانی ۵/۰ درجه قوسی ارائه می‌دهد. شایان ذکر است که این داده‌ها تنها سطح خشکی‌های کره زمین را پوشش می‌دهد. مقدار بارش ماهانه در نسخه ۳,۰۲ متشکل از چندین منبع به‌روز شده

1. Global Telecommunication System
2. Parameter-Elevation Regressions on Independent Slopes Model
3. Global Historical Climate Network

شامل موارد زیر است: آخرین نسخه شبکه جهانی دیرینه اقلیم (GHCN2)، خدمات جوی محیط زیست (محیط زیست کانادا)، مؤسسه هیدرومترولوژی در سنت پترزبورگ روسیه، داده‌های GC-net^۱، یافته‌های ایستگاه گرینلند، مرکز ملی مطالعات جوی (NCAR)، داده‌های روزانه هند، داده‌های آرشیو شده بارش در آفریقا، داده‌های ایستگاهی بارش ماهانه در آمریکای جنوبی و خلاصه روزانه داده‌های سطح زمین (GSOD^۲) نمایه شده در وبگاه NCDC^۳. مجموع بارش ماهانه با روش درون‌یابی CAI^۴ استخراج شده است. این روش دقیق درون‌یابی فضایی متغیرهای اقلیمی را افزایش می‌دهد، زیرا از داده‌های بارش دارای سری زمانی بلندمدت برای بهبود درون‌یابی مقدار ماهانه یا سالانه بارش استفاده می‌کند. به همین سبب می‌توان آن را جزو روش‌های چندمتغیره نام‌گذاری کرد. در این روش، نسبت به روش‌های تک‌متغیره حداقل از دو نوع داده استفاده می‌شود: ۱. داده دارای بیشترین ارتباط فضایی با متغیر وابسته، ۲. داده‌های دارای قدرت تفکیک فضایی بالاتر نسبت به داده ایستگاهی. به صورت خلاصه می‌توان گفت که در این روش داده‌های بارش با قدرت تفکیک مکانی بالا و انحراف فضایی سالانه ترکیب شده که در ایستگاه‌های زمینی درون‌یابی شده است، و بر اساس روش کروی مبتنی بر فاصله معکوس وزین مقدار هر یک از گره‌ها برآورد می‌شود (جزئیات بیشتر در ویل‌مات و رایسون، ۱۹۹۵؛ ویل‌مات و ماتسوئرا، ۲۰۰۱). موقعیت ایستگاه‌های نمونه در ماه دسامبر سال ۲۰۱۰ برای برآورد بارش این ماه در شکل ۳ نشان داده شده است.

مزیت این داده‌ها، پوشش سراسری خشکی‌های کره زمین با تفکیک فضایی ۵/۰ درجه و ضعف آن به روزرسانی نامنظم و کم آن‌هاست.



شکل ۳. موقعیت ایستگاه‌های ثبت بارش در ماه دسامبر سال ۲۰۱۰ که در برآورد بارش از آن‌ها استفاده شده است.

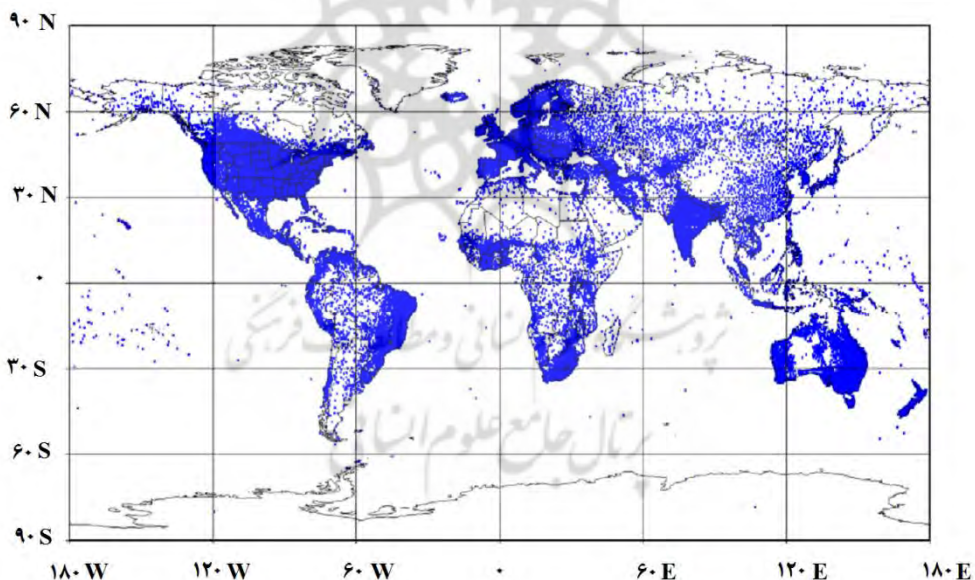
داده‌های بارش GPCC (مرکز اقلیم‌شناسی بارش جهانی)

مرکز اقلیم‌شناسی بارش جهانی (GPCC) در سال ۱۹۸۹ به درخواست سازمان جهانی هواشناسی (WMO^۵) تأسیس شد. این مرکز را دویچر و ترداینست (DWD، خدمات ملی هواشناسی آلمان) به عنوان سهم آلمان از برنامه تحقیقاتی اقلیم

-
1. Greenland Climate Network
 2. Global Surface Summary of Day
 3. National Climatic Data Center
 4. Climatologically aided interpolation
 5. World Meteorological Organization

جهانی (WCRP^۱) عملیاتی کرد. رسالت اصلی GPCC تحلیل جهانی بارش ماهانه سطح زمین براساس داده‌های ایستگاهی مناسب است. داده‌های بارش GPCC با تفکیک فضایی ۰/۰، ۰/۵، ۱ و ۲/۵ درجه قوسی در دسترس است. این داده‌ها از طریق دورنیابی ۶۷۲۰۰ (برای داده‌های با تفکیک مکانی ۰/۲۵ و ۰/۵ درجه قوسی) تا ۸۵۰۰۰ (برای داده‌های با تفکیک ۱ و ۲/۵ درجه قوسی) ایستگاه زمینی از طریق روش اصلاح شده وزن‌دهی تجربی شپرد^۲ ایجاد شد. در این روش، طرح وزن‌دهی تجربی شپرد با روش کروی تعديل شده است که در آن علاوه بر فاصله کروی، جهت و شبیه مقدار ایستگاه‌ها در ارتباط با مراکز شبکه‌ها نیز بررسی شده است (جزئیات بیشتر در وبگاه^۳ DWD؛ ویل‌مات و همکاران، ۱۹۸۵؛ شنايدر و همکاران، ۲۰۱۴). محصولات متعدد GPCC را طیف وسیعی از سازمان‌ها و مراکز تحقیقاتی جهان نظیر، WMO، WRCP، FAO^۴، GCOS^۵، یونسکو^۶ و GEO^۷ استفاده و واکاوی کرده‌اند.

مزیت این داده‌ها استفاده از ایستگاه‌های زمینی فراوان حتی بیش از شبکه ایستگاه‌های GHCN است (شکل ۴)، اما از آنجا که بازکاوی داده‌های کامل GPCC به کمک تمام داده‌های موجود در هنگام واکاوی صورت می‌پذیرد، تعداد ایستگاه‌ها در هر شبکه طی زمان متغیر خواهد شد. این امر ناهمگنی در داده‌ها را سبب می‌شود و این نکته از ضعف‌های این داده‌هاست.

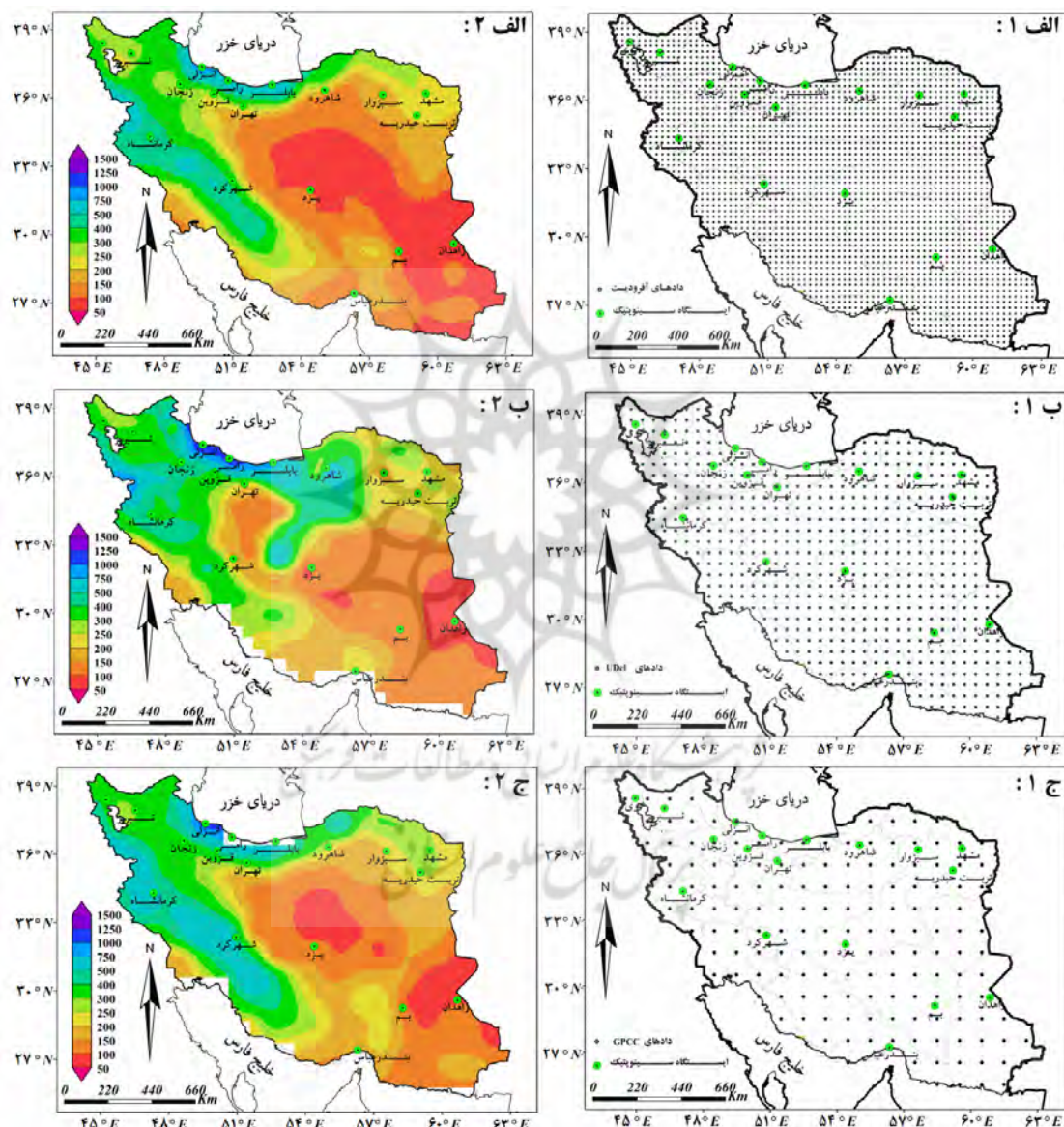


شکل ۴. توزیع فضایی ایستگاه‌ها (برای داده‌های ماهانه) برای بارش اقلیمی نرمال بر اساس داده‌های حداقل ۱۰ ساله در پایگاه داده GPCC (تعداد ایستگاه‌ها در جولای: ۶۷۲۸۳؛ منبع: شنايدر و همکاران، ۲۰۱۴)

1. World Climate Research Programme
2. rrrrrr rrrrr r iiiii aal tttttt tttt
3. ftp://ftp-anon.dwd.de/pub/data/gpcc/html/fulldata_download.html
4. Global Climate Observing System
5. UN Food and Agriculture Organisation
6. UN Educational, Scientific and Cultural Organization
7. Group on Earth Observations

الگوی بارندگی سالانه ایران با استفاده از داده‌های آفرودبیت، UDel و GPCC

پراکنده‌گی بارش سالانه ایران با استفاده از داده‌های مورد مطالعه در شکل ۵ نشان داده شده است. شکل‌های الف، ب و ج به ترتیب میانگین بلندمدت بارش را براساس داده‌های آفرودبیت (۲۰۰۷-۱۹۵۱)، UDel (۲۰۱۰-۱۹۴۸) و GPCC (۲۰۱۳-۱۹۴۸) نشان می‌دهد.



شکل ۵. میانگین بلندمدت بارش سالانه ایران براساس داده‌های آفرودبیت (الف، ۲، ۲۰۰۷-۱۹۵۱)، UDel (ب، ۲۰۱۰-۱۹۴۸) و GPCC (ج، ۲۰۱۳-۱۹۴۸) و موقعیت مراکز هر شبکه در داده‌های آفرودبیت (الف۱)، UDel (ب۱) و GPCC (ج۱)

موقعیت مرکز شبکه‌های این داده‌ها نیز در سمت چپ هر شکل نشان داده شده است. پراکنش بارش سالانه بر اساس داده‌های مذبور تقریباً الگویی مشابه را نشان می‌دهد، بدین صورت که مکان‌های پربارش در سواحل خزر و دامنه‌های رو به باد زاگرس قراردارد با این تفاوت که در داده‌های UDel، هستهٔ پربارش زاگرس در عرض‌های ۳۰ تا ۳۳ شمالی بارش به مراتب کمتری را نسبت به عرض‌های ۳۶ تا ۳۳ درجهٔ شمالی دریافت می‌دارد. همچنین، شکل‌گیری هسته‌ای پربارش در نواحی داخلی ایران (جنوب شرقی اصفهان اطراف شهرستان نایین) براساس داده‌های UDel متفاوت است. مکان‌های کم‌بارش در الگوی توزیع بارش سالانه عموماً، در نواحی داخلی، شرق و جنوب شرق کشور از سایر داده‌هاست. مکان‌های کم‌بارش در این ناحیهٔ الگوی توزیع بارش سالانه عموماً، در نواحی داخلی، شرق و جنوب شرق کشور قراردارد که در داده‌های آفرودیت به صورت پهن‌ای پیوسته ظاهر شده ولی براساس داده‌های GPCC به صورت دو پهنهٔ مجزا از هم است. مکان‌های کم‌بارش براساس داده‌های UDel، در نواحی شرق متمایل به جنوب شرق تشکیل شده است. برای اطمینان از صحت این داده‌ها باید از ایستگاه‌های زمینی مورد اعتماد استفاده کرد. برای این منظور، ایستگاه‌های دارای دادهٔ کامل روزانه و قادر تغییر مکانی طی زمان، انتخاب شدند (رحیم‌زاده، ۲۰۱۴). موقعیت این ایستگاه‌ها در شکل ۵ ارائه شده است.

روش‌های ارزیابی داده‌های بارش

به منظور ارزیابی صحت داده‌های مورد بررسی، ابتدا بازه زمانی مشترک (۱۹۶۱-۲۰۰۷) بین داده‌های مورد بررسی و داده‌های ایستگاهی انتخاب و سپس نزدیک‌ترین نقطهٔ داده‌های مورد بررسی به ایستگاه‌های زمینی (فاصلهٔ حداقل ۴۰ کیلومتری) انتخاب شد. بعد از انتخاب ایستگاه‌های مناسب به عنوان معیار ارزیابی داده‌های مختلف، از تکنیک‌های RMSE، ضریب تعیین (R^2) و دیاگرام تیلور جهت ارزیابی بهره گرفته شد. RMSE مقدار انحراف داده‌های برآورد شده (داده‌های مورد بررسی) از داده‌های مشاهده‌ای (ایستگاه‌های زمینی) و ضریب همبستگی درصد اشتراک پراش دو داده را می‌سنجد حال آنکه دیاگرام تیلور (تیلور، ۲۰۰۱) بر مبنای ارتباط هندسی بین ضریب همبستگی (R)، انحراف معیار سری‌های زمانی و RMSD¹ استوار است. نحوه محاسبهٔ شاخص‌های یادشده به شرح زیر است (تیلور، ۲۰۰۱؛ لوکونتی و همکاران، ۱۹۹۳: ۲۰۱۴).

$$\begin{aligned} RMSD^2 &= \sigma_{est}^2 + \sigma_{obs}^2 - 2\sigma_{est}\sigma_{obs}R \\ R &= \frac{\frac{1}{N} \sum_{n=1}^N \left(P_{est,n}^{(i)} - \overline{P_{est}^{(i)}} \right) \left(P_{obs,n}^{(i)} - \overline{P_{obs}^{(i)}} \right)}{\sigma_f \sigma_r} \\ \sigma_{est}^2 &= \frac{1}{N} \sum_{n=1}^N \left(P_{est,n}^{(i)} - \overline{P_{est}^{(i)}} \right)^2 \\ \sigma_{obs}^2 &= \frac{1}{N} \sum_{n=1}^N \left(P_{obs,n}^{(i)} - \overline{P_{obs}^{(i)}} \right)^2 \end{aligned}$$

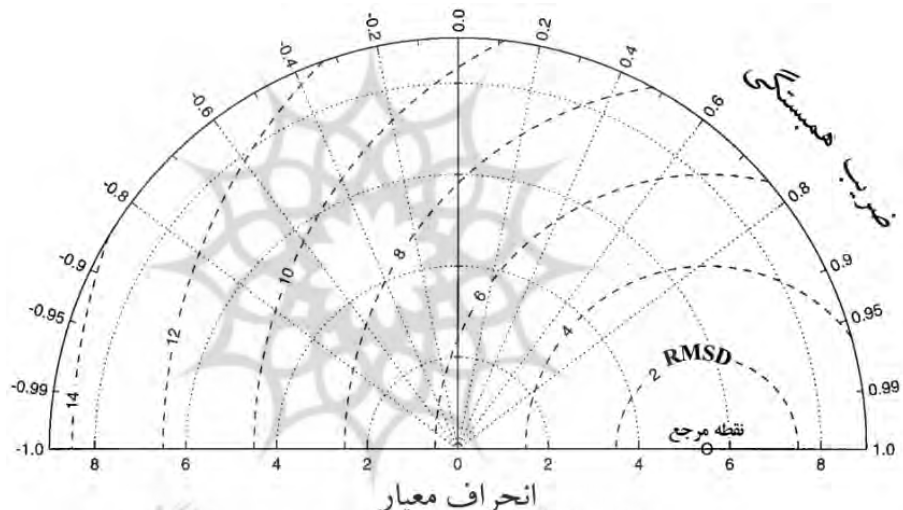
1. Root Mean Square Difference

$$RMSE = \sqrt{\frac{\sum_{i=1}^n (P_{obs}^{(i)} - P_{est}^{(i)})^2}{n}}$$

$$R^2 = \frac{n \left(\sum_{i=1}^n P_{est}^{(i)} P_{obs}^{(i)} \right) - \left(\sum_{i=1}^n P_{est}^{(i)} \sum_{i=1}^n P_{obs}^{(i)} \right)}{\sqrt{\left[n \sum_{i=1}^n P_{est}^{(i)2} - \left(\sum_{i=1}^n P_{est}^{(i)} \right)^2 \right] \left[n \sum_{i=1}^n P_{obs}^{(i)2} - \left(\sum_{i=1}^n P_{obs}^{(i)} \right)^2 \right]}}$$

که σ_{est}^2 و σ_{obs}^2 ، واریانس داده‌های ایستگاهی و برآورده شده، $P_{est}^{(i)}$ و $P_{obs}^{(i)}$ ، مقدار بارش ایستگاهی و برآورده شده و n تعداد ایستگاه‌های استفاده شده در برآورد است.

دیاگرام تیلور، ابزاری مناسب برای ارزیابی روش‌های متنوع است و اخیراً در مطالعات مربوط به آب و هواشناسی به کرات استفاده می‌شود (برای نمونه، گزارش^۱ IPCC، ۲۰۰۱؛ پینکس و همکاران، ۲۰۰۸؛ واينر، ۲۰۱۳؛ لو کوتی و همکاران، ۲۰۱۴؛ نمونه‌ای خام از نمودار تیلور در شکل ۶ نمایش داده شده است).



شکل ۶. نمونه‌ای از نمودار تیلور. ضریب همبستگی به صورت شعاع دایره، انحراف معیار و RMSD به ترتیب به صورت دواير متعددالمرکز نسبت به مرکز دایره و نقطه مرجع نشان داده شده است. نقطه مرجع، موقعیت ایستگاه زمینی را براساس انحراف معیار سری زمانی آن نشان می‌دهد.

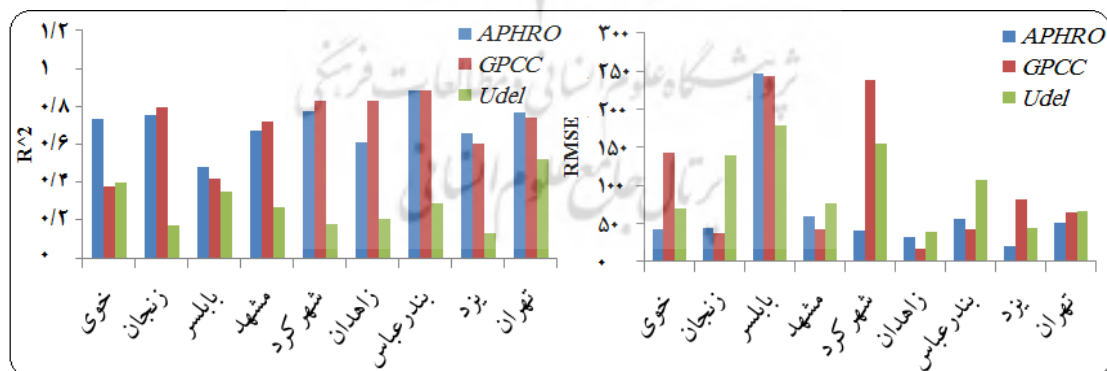
نمودار تیلور به دو صورت نیم‌دایره (نمایش همبستگی منفی و مثبت) و ربع‌دایره (فقط نمایش همبستگی مثبت) ارائه می‌شود که در هر دو صورت، مقادیر ضریب همبستگی به صورت شعاع دایره روی قوس آن، مقادیر انحراف معیار به صورت دواير متعددالمرکز نسبت به مرکز دایره و مقادیر RMSD به صورت دواير متعددالمرکز نسبت به نقطه مرجع (دایره توخالی روی محور افقی) ترسیم می‌شود. نقطه مرجع موقعیت ایستگاه زمینی را براساس انحراف معیار سری زمانی آن نشان می‌دهد (زیرا مقدار RMSD و ضریب تعیین سری زمانی ایستگاه زمینی در مقایسه با خودش به ترتیب صفر و یک خواهد بود، لذا موقعیت آن روی محور افقی براساس مقدار انحراف معیار تعیین خواهد شد). روش ارزیابی در این دیاگرام به این صورت است که موقعیت داده‌های مورد بررسی بر اساس RMSD، ضریب همبستگی آن با ایستگاه زمینی

و انحراف معیار سری زمانی روی دیاگرام ترسیم می‌شود و هر داده‌ای که موقعیت مکانی آن روی نمودار به نقطهٔ مرجع نزدیک‌تر باشد، با دقت بیشتری مقدار بارش ایستگاه زمینی را برآورد می‌کند و بنابراین مناسب‌تر خواهد بود.

یافته‌های پژوهش

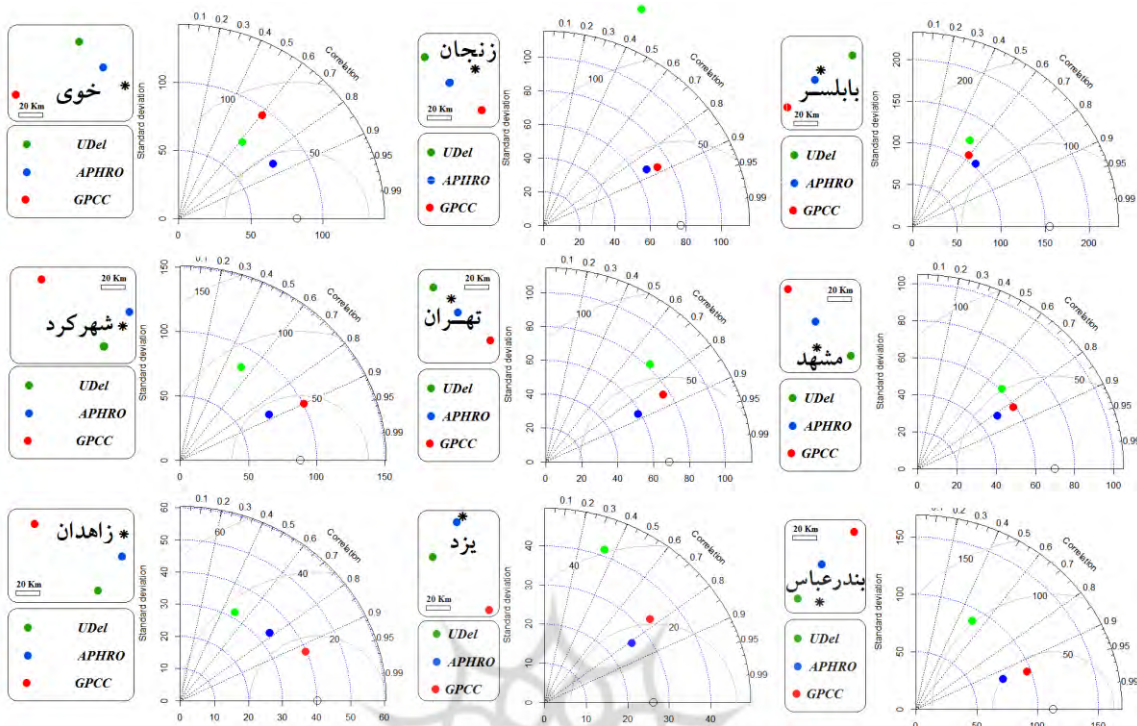
ارزیابی داده‌های بارش با استفاده از ایستگاه‌های زمینی

در این ارزیابی ایستگاه‌های دارای سری زمانی کامل و در شعاع ۴۰ کیلومتری آن‌ها هر سه داده مورد نظر انتخاب شد. این ایستگاه‌ها (بابلسر، خوی، شهرکرد، زنجان، تهران، یزد، مشهد، بندرعباس و زاهدان) دارای آمار کامل روزانه از سال ۱۹۶۱ تا ۲۰۱۳ بودند و در طی زمان نیز دستخوش تغییرات عمده نشده‌اند. مهم‌تر از همه در تمام پهنه‌های بارشی کشور پراکنده‌اند (شکل ۵). ارزیابی داده‌های بارش از طریق این ایستگاه‌ها بر اساس تکنیک‌های RMSE و ضریب همبستگی در شکل ۷ آمده است. براساس تکنیک RMSE، داده‌های آفرودیت در ایستگاه‌های خوی، شهرکرد، یزد و تهران، داده‌های GPCC در ایستگاه‌های زنجان، مشهد، بندرعباس و زاهدان، و داده‌های UDel در ایستگاه بابلسر مناسب‌تر از سایر داده‌های است. نتایج حاصل از روش ضریب تعیین، متفاوت از روش RMSE است، بدین صورت که در ایستگاه‌های خوی، بابلسر، یزد و تهران داده‌های آفرودیت و در ایستگاه‌های زنجان، مشهد، شهرکرد و زاهدان داده‌های GPCC عملکرد مناسب‌تری نسبت به سایر داده‌ها دارد. همان‌طور که ملاحظه شد، نتایج ارزیابی بر اساس هر یک از روش‌های RMSE و ضریب همبستگی متفاوت است، بنابراین در ادامه برای درنظرگرفتن مقدار انحراف داده‌های مختلف بارش از داده‌های ایستگاهی و در عین حال درنظرگرفتن درصد اشتراکات آن‌ها از دیاگرام تیلور استفاده خواهد شد.



شکل ۷. مقدار RMSE و ضریب تعیین محاسبه شده برای داده‌های مختلف بارش براساس ایستگاه‌های منتخب

نتایج ارزیابی داده‌ها براساس دیاگرام تیلور در شکل ۸ ارائه شده است. در قسمت بالای راهنمای دیاگرام‌ها، موقعیت مکانی داده‌های ایستگاهی (با علامت ستاره) و موقعیت نزدیک‌ترین نقاط هر یک از داده‌های GPCC (قرمز)، آفرودیت (آبی) و UDel (سبز) نسبت به آن نشان داده شده است.

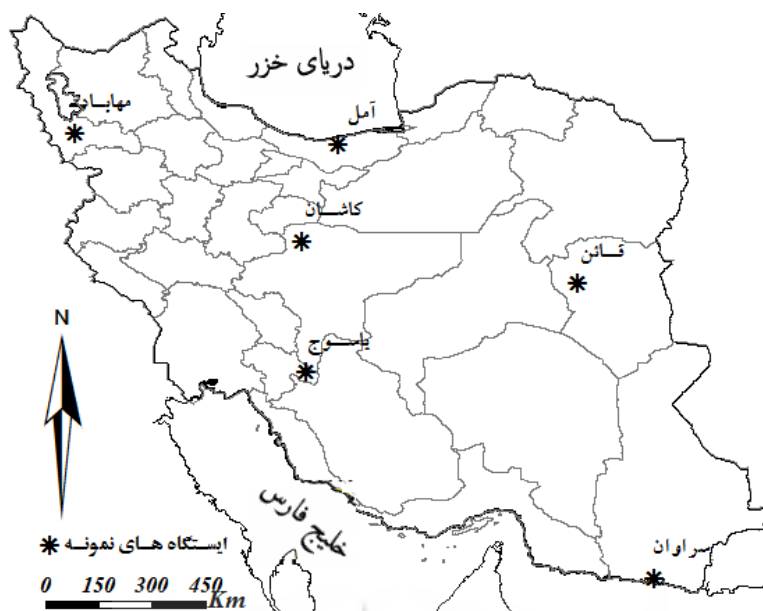


شکل ۸. نمودار تیلور برای ایستگاه‌های دارای کمترین فاصله از مرکز شبکه داده‌های مورد مطالعه

با توجه به شکل ۸، داده‌های آفروдیت در ایستگاه‌های خوی، بابلسر، تهران و یزد دارای دقت بیشتری است و در ایستگاه‌های زاهدان و بندرعباس، داده‌های GPCC عملکرد بهتری نسبت به سایر داده‌ها دارد. در ایستگاه‌های شهرکرد، مشهد و زنجان داده‌های آفرودیت و GPCC دارای RMSD مشابه است ولی با توجه به بیشتر بودن ضریب همبستگی داده‌های GPCC، به نظر می‌رسد که مناسب‌تر از داده‌های آفرودیت باشد (جزئیات بیشتر در شکل ۸). با توجه به نتایج، می‌توان اظهار داشت که داده‌های آفرودیت برای مناطق شمال، شمال غرب، دامنه‌های جنوبی البرز و نواحی داخلی کشور مناسب‌تر و داده‌های GPCC در مناطق غرب، جنوب، جنوب شرق و شمال شرق کشور به نتایج بهتری متنه می‌شود.

انتخاب داده مناسب به منظور واکاوی بارش در مناطق دارای سری زمانی کوتاه‌مدت

یکی از انگیزه‌های اصلی استفاده از داده‌های بارش بازکاوی و شبکه‌بندی شده، واکاوی و شناخت بارش در مناطق بدون داده یا دارای سری زمانی کوتاه‌مدت است. مکان‌هایی که به دلایل مختلف فاقد ایستگاه‌های زمینی یا فاقد سری زمانی بلندمدت (ایستگاه‌های جدید التأسیس) است دلیل اصلی بسیاری از پژوهشگران برای استفاده از این نوع داده‌هاست. به همین دلیل، عملکرد هر یک از داده‌ها در رابطه با این مکان‌ها و برآورد مقادیر بارش آن‌ها در سال‌های بدون داده اهمیت فراوانی دارد. بدین منظور ایستگاه‌های آمل، نایین، سراوان، قاین، یاسوج و مهاباد (شکل ۹) برای این نوع ارزیابی انتخاب شد. ملاک انتخاب این ایستگاه‌ها در مرحله اول پراکندگی مناسب در سراسر کشور بود، به صورتی که هر کدام نماینده یک بخش بارشی ایران محسوب شود. سپس، قرارگیری هر سه مرکز داده بازکاوی شده (آفرودیت، GPCC و UDel) در فاصلهٔ حداقل تا ۴۰ کیلومتری آن‌ها بوده است.



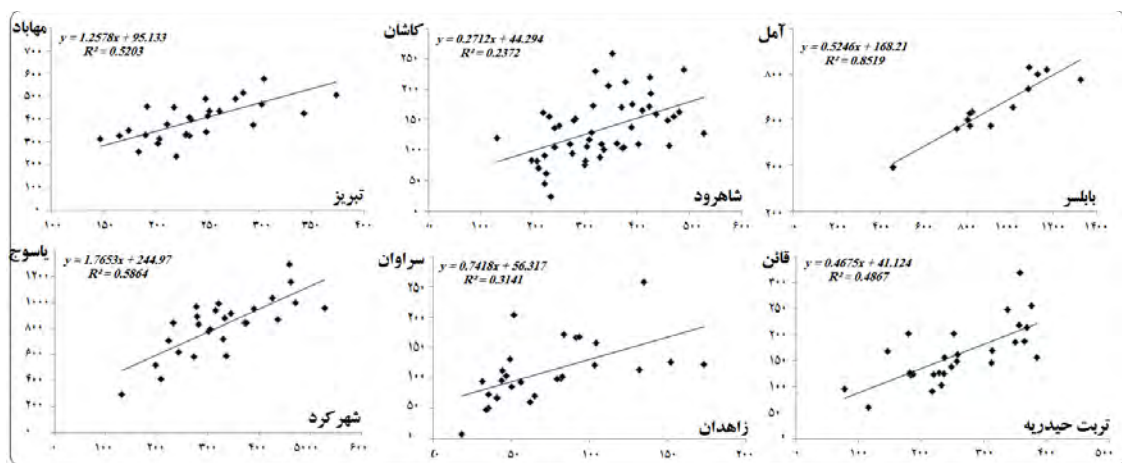
شکل ۹. موقعیت ایستگاه‌های نمونه به منظور ارزیابی داده‌های مورد نظر در رابطه با سری‌های زمانی کوتاه‌مدت

برای ارزیابی، ابتدا مقدار همبستگی این ایستگاه‌ها (ایستگاه نمونه) با ایستگاه‌های دارای داده کامل محاسبه شد و ایستگاه دارای بیشترین همبستگی معنادار (ایستگاه قرینه) انتخاب شد (جدول ۱). با انتخاب ایستگاه قرینه، سری زمانی ایستگاه‌های نمونه در سال‌های بدون بارش با استفاده از مدل رگرسیونی (شکل ۱۰) بازسازی و برآورد شد (شکل ۱۱). عملکرد داده‌های بارش، با محاسبه RMSE و ضریب همبستگی تنها برای آن بخش از سری زمانی بازسازی شده ارزیابی شد (شکل ۱۲). نتایج ارزیابی داده‌های بارش بر اساس دو روش RMSE و ضریب همبستگی متفاوت از یکدیگر بود. برای نمونه در ایستگاه یاسوج، داده‌های UDel بر اساس روش ضریب همبستگی و داده‌های GPCC براساس روش RMSE مناسب‌تر از سایر داده‌ها تشخیص داده شد. به همین منظور، به منظور درنظرگرفتن هر دو ویژگی‌های RMSE و ضریب همبستگی برای ارزیابی داده‌ها از دیاگرام تیلور استفاده و مشخص شد (شکل ۱۳) که داده‌های UDel در همه ایستگاه‌ها به استثنای کاشان، عملکرد بهتری نسبت به سایر داده‌ها داشته است (در ایستگاه کاشان داده‌های UDel دارای همبستگی منفی و RMSE بالایی بود. به همین دلیل خارج از محدوده تعیین شده در دیاگرام قرار گرفت. در این ایستگاه داده‌های GPCC بارش را بهتر از سایر داده‌ها برآورد کرد).

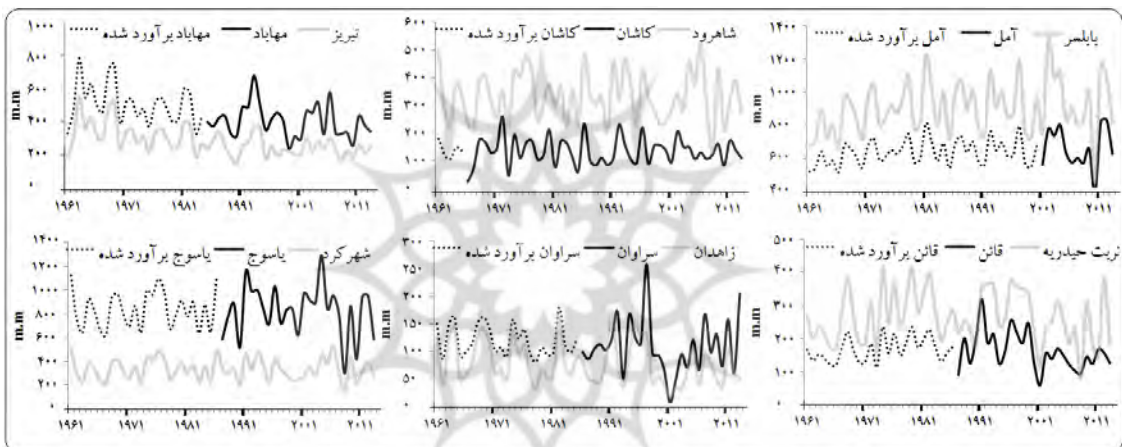
جدول ۱. ضریب همبستگی و ضریب تعیین ایستگاه‌های نمونه با ایستگاه‌های قرینه

ایستگاه نمونه	ایستگاه قرینه	ضریب همبستگی	R ²	سطح معناداری
مehabād*	تبریز	۰/۷۲۱	۰/۵۲۰	۰/۰۰۰
*یاسوج	شهرکرد	۰/۷۶۶	۰/۵۸۶	۰/۰۰۰
قازان	تریت‌حیدریه	۰/۶۹۸	۰/۴۸۷	۰/۰۰۰
سروان	Zahedan	۰/۵۶۰	۰/۳۱۴	۰/۰۰۲
آمل	بابلسر	۰/۹۲۳	۰/۸۵۲	۰/۰۰۰
*کاشان	شاہرود	۰/۴۸۷	۰/۲۳۷	۰/۰۰۰

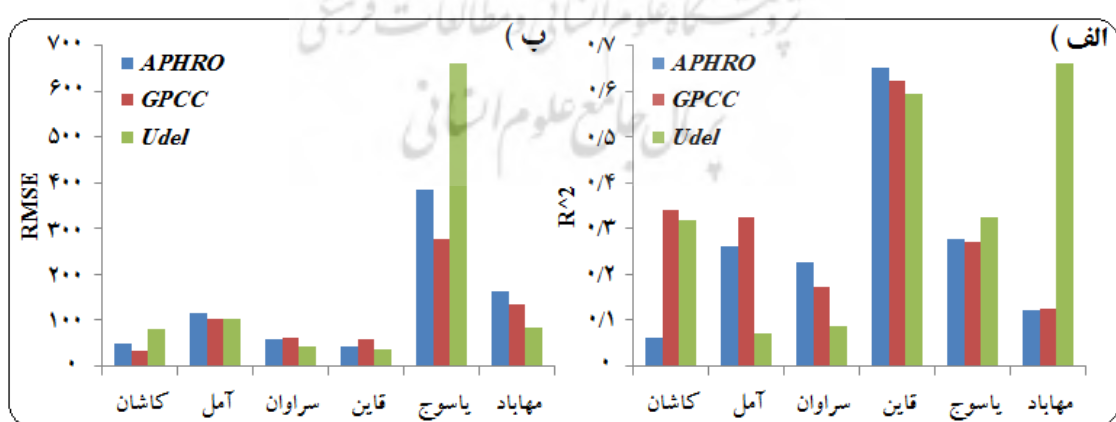
* در سطح اطمینان ۹۹ درصد معنادار است.



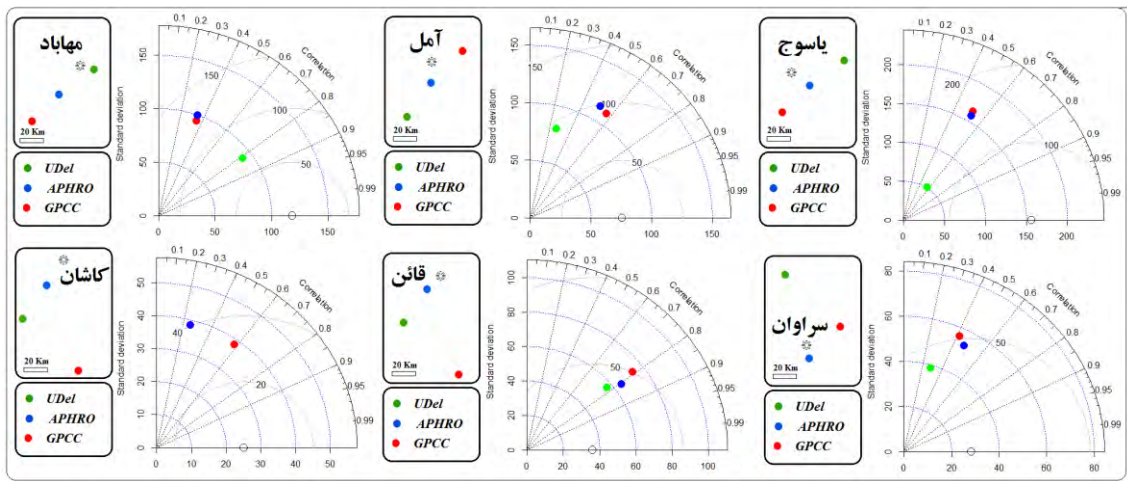
شکل ۱۰. نمودار پراکنش ایستگاه‌های نمونه و قرینه به همراه معادله خط برازش داده شده با روش رگرسیون خطی



شکل ۱۱. سری زمانی برآورده شده در ایستگاه‌های نمونه بر اساس سری زمانی مشترک آنها



شکل ۱۲. مقادیر ضریب همبستگی (الف) و RMSE (ب) محاسبه شده برای بخش بازسازی شده سری زمانی ایستگاه‌های نمونه



شکل ۱۳. نمودار تیلور برای سری زمانی بارش بازسازی شده در ایستگاه‌های نمونه، موقعیت نزدیک‌ترین مراکز شبکه داده‌های مورد مطالعه به موقعیت ایستگاه‌ها (ستاره سفید رنگ) نیز نشان داده شده است.

نتیجه‌گیری

محاسبه و ترسیم میانگین بلندمدت بارش سالانه ایران بر اساس داده‌های آفرودیت، UDel و GPCC بیانگر دقت بیشتر داده‌های آفرودیت و GPCC نسبت به داده‌های UDel است. بازترین اشتباه داده‌های UDel، در ترسیم متوسط بارش بلندمدت سالانه ایران مربوط به نواحی مرکزی کشور است، بدین نحو که از طریق این داده‌ها، هسته پربارش ۵۰۰ تا ۷۵۰ میلی‌متری در جنوب نایین نشان داده شده است، در حالی که مجموع بارش سالانه نایین در هیچ سالی به ۲۰۰ میلی‌متر هم نرسیده است. داده‌های بارش بازکاوی شده براساس داده‌های ایستگاهی و بهره‌گیری از روش‌های RMSE، ضریب همبستگی و انحراف معیار سری‌های زمانی مشاهده شده و برآورده شده را بررسی می‌کند، به منظور ارزیابی داده‌ها، نسبت به سایر روش‌های تک‌متغیره نظریه RMSE و ضریب تعیین، مناسب‌تر تشخیص داده شد. براساس این دیاگرام، داده‌های آفرودیت برای مناطق شمال، شمال غرب، دامنه‌های جنوبی البرز و نواحی داخلی کشور مناسب‌تر و داده‌های GPCC در مناطق غرب، جنوب، جنوب شرق و شمال شرق کشور به نتایج بهتری متنه می‌شود. همچنین، مشخص شد که داده‌های UDel به دلیل درنظرگرفتن ارتباط فضایی داده‌ها با متغیر وابسته، مقادیر بارشی سری‌های زمانی ناقص را بهتر از دو داده دیگر برآورد می‌کند. بنابراین، پیشنهاد می‌شود برای واکاوی ویژگی‌های بارش در مناطق دارای سری زمانی کوتاه‌مدت از این نوع داده‌ها استفاده شود. البته، از این داده‌ها در نواحی داخلی کشور باید با احتیاط استفاده شود.

منابع

- بارانیزاده، ا؛ بھیار، م.ب؛ عابدینی، ی.ع. (۱۳۹۰). ارزیابی برآوردهای بارندگی ماهواره TRMM-3B43 با استفاده از مقایسه با داده‌های زمینی مشاهداتی شبکه‌های بارش قدرت تفکیک بالا (APHRODITE) در ایران، دومین کنفرانس ملی پژوهش‌های کاربردی منابع آب ایران، دانشگاه زنجان، ۲۸-۲۹ اردیبهشت، ص. ۱.
- حاجی‌مرحیمی، م؛ فیضی‌زاده، ب. (۱۳۸۷). بررسی دقت داده‌های رادار زمینی و TRMM در برآورد بارش، همايش ژئوماتیک ۷۷، تهران.
- حجازی‌زاده، ز؛ علیجانی، ب؛ ضیاییان، پ؛ کریمی، م؛ رفتی، س. (۱۳۹۱). ارزیابی بارش ماهواره‌ای 3B43 و مقایسه آن با مقادیر حاصل از تکنیک درون‌یابی کریجینگ، مجله سنجش از دور و GIS ایران، ۴(۳): ۴۹-۶۴.
- رضیئی، ط؛ فتاحی، ا. (۱۳۹۰). ارزیابی کاربرد داده‌های بارش NCEP/NCAR در پایش خشکسالی ایران، مجله فیزیک زمین و فضا، ۲(۳۷): ۲۲۵-۲۴۷.
- عرفانیان، م؛ کاظمپور، س؛ حیدری، ح. (۱۳۹۲). ارزیابی داده‌های باران ماهواره TRMM در مناطق خشک و نیمه‌خشک ایران، نخستین کنفرانس ملی هواشناسی، دانشگاه تحصیلات تکمیلی صنعتی و فناوری پیشرفته، کرمان.
- کتیرایی بروجردی، س. (۱۳۹۲). مقایسه داده‌های بارش ماهانه ماهواره‌ای و زمینی در شبکه‌ای با تفکیک زیاد روی ایران، مجله ژئوفیزیک ایران، ۷(۴): ۱۴۹-۱۶۰.
- مسعودیان، ا. (۱۳۹۰). آب و هوای ایران، چاپ اول. انتشارات شریعة توسع، مشهد.
- مسعودیان، ا؛ کیخسروی، م.ص؛ رعیت پیشه، ف. (۱۳۹۳). معرفی و مقایسه پایگاه داده اسفزاری با پایگاه‌های داده GPCC و GPCP. فصلنامه تحقیقات جغرافیایی، CMAP ۲۹(۱): ۷۳-۸۸.
- Andermann, C.; Bonnet, S; Gloaguen, R. (2011). Evaluation of precipitation data sets along the Himalayan front. *Geochemistry, Geophysics, Geosystems*, 12(7): 1-16.
- Baranizadeh, E.; Behyar, M.; Abedini, Y. (2011). Evaluation of Satellite Rainfall Estimates from TRMM-3B43 through comparison with Ground-Based data of High-Resolution Network (APHRODITE) in Iran, The second Iranian National conference on applied research in water resources, Zanjan University, May 18-19, pp. 8, (In Persian).
- Chintalapudi, S.; Sharif, H.O.; Yeggina, S.; Elhassan, A. (2012). Physically Based, Hydrologic Model Results Based on Three Precipitation Products1 Journal of the American Water Resources Association, 48(6): 1191-1203.
- Erfanian, M.; Kazempour, S.; Heidari, H. (2013). Evaluation and Calibration of TRMM Satellite Rainfall Data in a Semi-arid Region of Iran, First National Conference on Climatology of Iran, May 21 -22, Graduate University of Advanced Technology, Kerman, Iran, (In Persian).
- Hajimir Rahimi, M.; Feizizade, B. (2007). Validation of TRMM Precipitation and Ground-Based Radar in estimation of precipitation, National Geomatics Conference 86 (GEO86), National Cartographic Center, Tehran, Iran, (In Persian).
- Hejazizadeh Z.; Alijani B.; Zeaiean P.; Karimi M.; Rafati S. (2012). Evaluation of Satellite-based Precipitation Estimates (3B43) and Comparison with Kriging Interpolation Results, Iranian Journal of Remote Sencing & GIS, 4(3): 49-64, (In Persian).
- <http://www.chikyu.ac.jp>.
- <http://www.esrl.noaa.gov>
- IPCC (2001). Climate Change 2001: The Scientific Basis, Contribution of Working Group I to the Third Assessment Report of the Intergovernmental Panel on Climate Change[Houghton, J.T., Y. Ding, D.J. Griggs, M. Noguer, P.J. van der Linden, X. Dai, K. Maskell, and C.A. Johnson (eds.)]. Cambridge University Press, Cambridge, United Kingdom and New York, NY, USA.
- Javanmard, S.; Yatagai, A.; Nodzu, M.I.; BodaghJamali, J.; Kawamoto, H. (2010). Comparing high-resolution gridded precipitation data with satellite rainfall estimates of TRMM_3B42 over Iran. *Advances in Geosciences*, 25(25): 119-125.

- Katiraei Boroujerdy, P. (2014). Comparison of high-resolution gridded monthly satellite and ground-based precipitation data over Iran, *Iranian Journal of Geophysics*, 7(4): 149-160, (In Persian).
- Lo Conti, F.; Hsu, K.L.; Noto, L.V.; Sorooshian, S. (2014). Evaluation and comparison of satellite precipitation estimates with reference to a local area in the Mediterranean Sea. *Atmospheric Research*, 138: 189-204.
- Masoodian, A.; Kiany, K.; Raiyatpishe, M.S. (2014). Introduction and a Comparison among Gridded Precipitation Database of Asfazari with GPCC, GPCP and CMAP, *Geographical Research*, 29(1): 73-88, (In Persian).
- Masoodian, S.A. (2011). The climate of Iran, *Sharia Toos publication*, First edition, (In Persian).
- Pincus, R.; Batstone, C.P.; Hofmann, R.J.P.; Taylor, K.E.; Glecker, P.J. (2008). Evaluating the present-day simulation of clouds, precipitation, and radiation in climate models. *Journal of Geophysical Research: Atmospheres*, 113(D14): 1-10.
- Rahimzadeh, F.; Nassaji Zavareh, M. (2014). Effects of adjustment for non-climatic discontinuities on determination of temperature trends and variability over Iran. *International Journal of Climatology*, 34(6), 2079-2096.
- Raziei, T.; Daryabari, J.; Bordi, I.; Modarres, R.; Pereira, L.S. (2014). Spatial patterns and temporal trends of daily precipitation indices in Iran. *Climatic Change*, 124(1-2): 239-253.
- Raziei, T.; Fatahi, E. (2011). Evaluation of the applicability of the NCEP/NCAR precipitation dataset for drought monitoring in Iran, *Iranian Journal of Geophysics* 37(2): 225-247, (In Persian).
- Schneider, U.; Becker, A.; Finger, P.; Meyer-Christoffer, A.; Ziese, M.; Rudolf, B. (2014). GPCC's new land surface precipitation climatology based on quality-controlled in situ data and its role in quantifying the global water cycle, *Theoretical and Applied Climatology*, 115(1-2): 15-40.
- Taylor, K.E. (2001). Summarizing multiple aspects of model performance in a single diagram, *Journal of Geophysical Research: Atmospheres*, 106(D7): 7183-7192.
- Wehner, M.F. (2013). Very extreme seasonal precipitation in the NARCCAP ensemble: model performance and projections, *Climate Dynamics*, 40(1-2): 59-80.
- Willmott, C.J.; Matsuura, K. (2001). Terrestrial air temperature and precipitation: monthly and annual climatologies (version 3.02), Center for Climatic Research, Department of Geography, University of Delaware.
- Willmott, C.J.; Robeson, S.M. (1995). Climatologically aided interpolation (CAI) of terrestrial air temperature. *International Journal of Climatology*, 15(2): 221-229.
- Willmott, C.J.; Rowe, C.M.; Philpot, W.D. (1985). Small-scale climate maps: A sensitivity analysis of some common assumptions associated with grid-point interpolation and contouring. *The American Cartographer*, 12(1): 5-16.
- Xie, P.; Chen, M.; Yang, S.; Yatagai, A.; Hayasaka, T.; Fukushima, Y.; Liu, C. (2007). A gauge-based analysis of daily precipitation over East Asia, *Journal of Hydrometeorology*, 8(3): 607-626
- Yatagai, A.; Kamiguchi, K.; Arakawa, O.; Hamada, A.; Yasutomi, N.; Kitoh, A. (2012). APHRODITE: Constructing a long-term daily gridded precipitation dataset for Asia based on a dense network of rain gauges. *Bulletin of the American Meteorological Society*, 93(9): 1401-1415.